## King 盤の RSK 対応

## 小林雅人

神奈川大学

松村朝雄(国際基督教大学)との共同研究

2025/8/19

- 1 イントロダクション
- 2 King 盤
- ③ 主定理
- 4 展望

### 概要

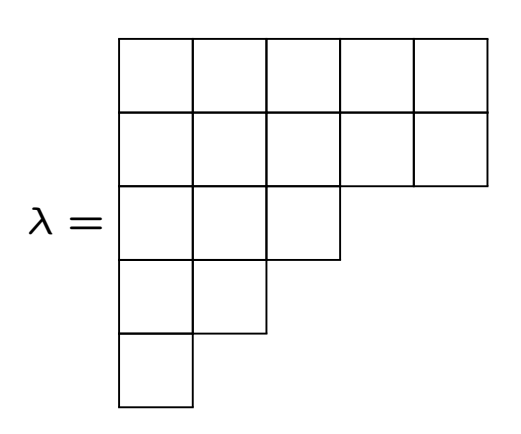
King 盤(ヤング盤タイプ C 理論)に関する **RSK** 対応の紹介。これは、特殊なケースとして半標準ヤン グ盤の RSK 対応を含む。

#### 主定理

- タイプ C RSK 対応
- コーシー等式の双対性
- 半標準振動盤の対称性とニュートン多面体の飽 和性

### 特に関連する文献

Berele (1986) タイプ C の RS 対応 Terada, Sundaram (1990) タイプ C の RSK 対応のアイディアを示唆 Lee (2025) 半標準振動盤を導入 分割(Young 図形)とは自然数の有限の広義単調減少列。



**Young 盤**とは、Young 図形の箱それぞれに数字を入れたもの。

| 8 | 1 | 6 | 2 |
|---|---|---|---|
| 4 | 7 | 7 |   |

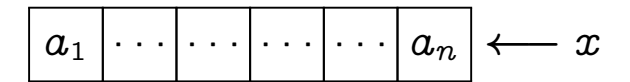
ヤング盤が**半標準**とは、箱の数字が次の 2 条件を満たすこと。

- 行は広義単調増加。
- 列は狭義単調増加。

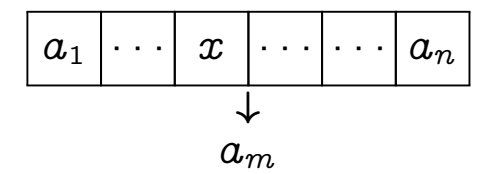
| 1 | 1 | 1 | 5 |
|---|---|---|---|
| 4 | 6 |   |   |
| 8 | 8 |   |   |

以下、盤の数字に  $1, \ldots, k$  を使うとする。

### Schensted 行挿入



• まず x よりほんとうに大きい数字で最も左にあるものを探す。(もしそのようなものがなければ x を末尾に加える) そして、それを x と入れ換え、行からはじき出す。



## 行挿入のアルゴリズム

*T* を半標準盤とする。

 $T \longleftarrow x$ : x を T の 1 行目に挿入して、はじき出した数字を  $x_1$  とする。次に、 $x_1$  を 2 行に挿入し、はじき出した数字を  $x_2$  とする。

例

$$T = \begin{array}{|c|c|c|c|} \hline 1 & 1 & 5 & 6 \\ \hline 2 & 3 & \\ \hline \end{array}$$

$$T \longleftarrow 4 = \begin{array}{|c|c|c|c|c|c|} \hline 1 & 1 & 4 & 6 \\ \hline 2 & 3 & 5 \\ \hline \end{array}$$

### 事実

T が半標準盤ならば、 $T \longleftarrow x$  もそうである。

したがって、自然数の語  $w_1 \cdots w_n$  から

$$(w_1) \leftarrow \cdots \leftarrow w_n$$
.

により盤を構成できる。これを" $P(w_1 \cdots w_n)$ "と表す。

- 1 イントロダクション
- ② King 盤
- 3 主定理
- 4 展望

# King 盤

まず、バーつきの数字  $\overline{1},\ldots,\overline{k}$  を用意し、全順序を次のように決める。

$$[\overline{k}] = \{1 < \overline{1} < 2 < \overline{2} < \dots < k < \overline{k}\}$$

### 定義

**King 盤**とは文字が  $[\overline{k}]$  に含まれ、 $\lambda$  上の盤で次の条件をみたすもの。

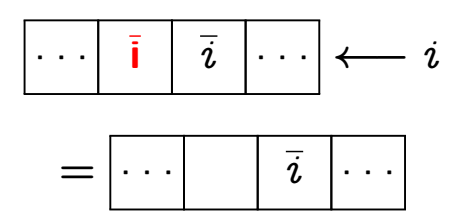
- 行は広義単調増加
- 列は狭義単調増加
- i 行の数字は i 以上

例

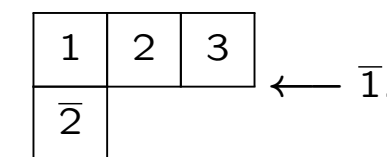
はそうではない。 $\frac{2}{2}$ が3行にあるため。

### Berele 挿入

King 盤 T と文字 x に対して  $T \longleftarrow_C x$  を定義しよう。type A の挿入と次の例外を除いては一致。もし i 行が  $\overline{i}$  を含み、さらに i を挿入することになったら、最も左にある  $\overline{i}$  を削除する。



そして jeu de taquin を行い、新しい盤を構成。(詳細は省略)



2 行では

が起きるので、ペア ( $\overline{2}$ , 2) を消す。結果は

## タイプ C の RS に向けて

RS 対応とは、w (語) に対し、 $w \mapsto (P(w), Q(w))$  という盤のペアを対応させるものである。

タイプ C は、タイプ A の RS 対応を模倣すればできる。

ただし、箱の削除が起こるので…

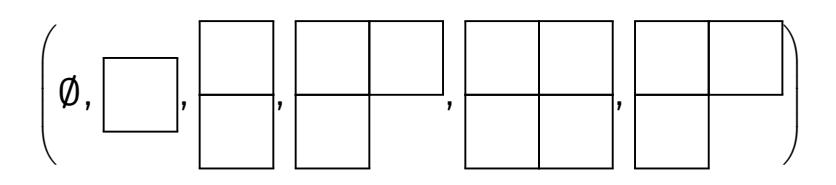
#### 適切な Q シンボルは何か?

それは 振動盤。

## 定義

振動盤 (OT) とは分割の有限列で $\emptyset$ から始まり、各ステップで箱を1つ加えるか削るもの。OTSがk-OTであるとは、Sのすべての分割が高々k行におさまること。

## 例



箱の追加・削除をすべて盤に記録し、数字の<mark>列</mark>を入れた盤で表す。

1 3 2 45

## タイプ C RS 対応

### 定理 Berele (1986)

ある全単射

$$[\overline{k}]^n \to \bigcup_{\lambda} \mathsf{KT}_k(\lambda) \times \mathsf{OT}_{kn}(\lambda)$$

$$w \mapsto (P(w), Q(w))$$

が存在。

| type A | ✓ RS          | ✓ RSK |
|--------|---------------|-------|
| type C | ✓ RS (Berele) |       |

タイプ C の RSK を構成したい。 どうすればよいか? もちろんタイプ A の RSK 対応を模倣すればよい。語の代わりに Knuth array を用いる。

#### Def

Knuth array w とは、行列

$$w=\left(egin{array}{ccc} u_1 & \cdots & u_n \ v_1 & \cdots & v_n \end{array}
ight)$$

で  $u_j \in [l], v_j \in [k]$  であり、さらに次の条件を満たすもの:

- $\bullet u_j \leq u_{j+1}$ .
- $\bullet \ u_j = u_{j+1} \Longrightarrow v_j \le v_{j+1}.$

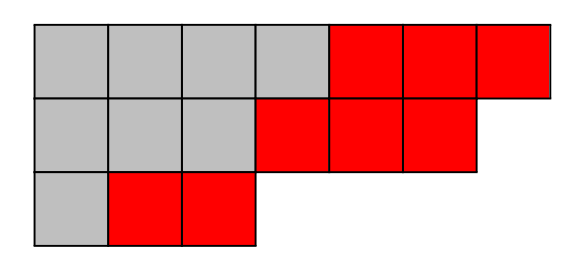
このようなものの集合を  $\mathcal{A}_k^l$  で表す。

タイプ C の RSK 対応の構成で次に考えるべき こと:

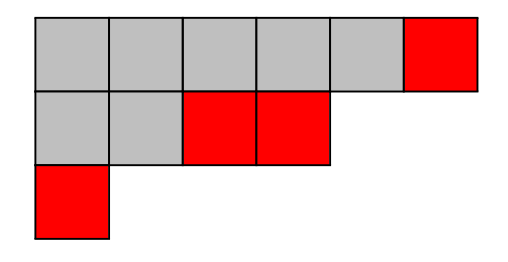
#### **Q-シンボル**は何にすべきか?

Sundaram, Terada (1990) のときには、このような対象の定式化はまだなかった。ただ、Lee (2025) が導入した **"SSOT"**を使うとよいことが判明。

箱の集合が**歪ヤング図形** であるとは、包含関係にある 2 つのヤング図形の差として表せることである。



歪ヤング図形が水平帯であるとは、 各列に高々 1 つの箱を含むことを言う。



#### Def

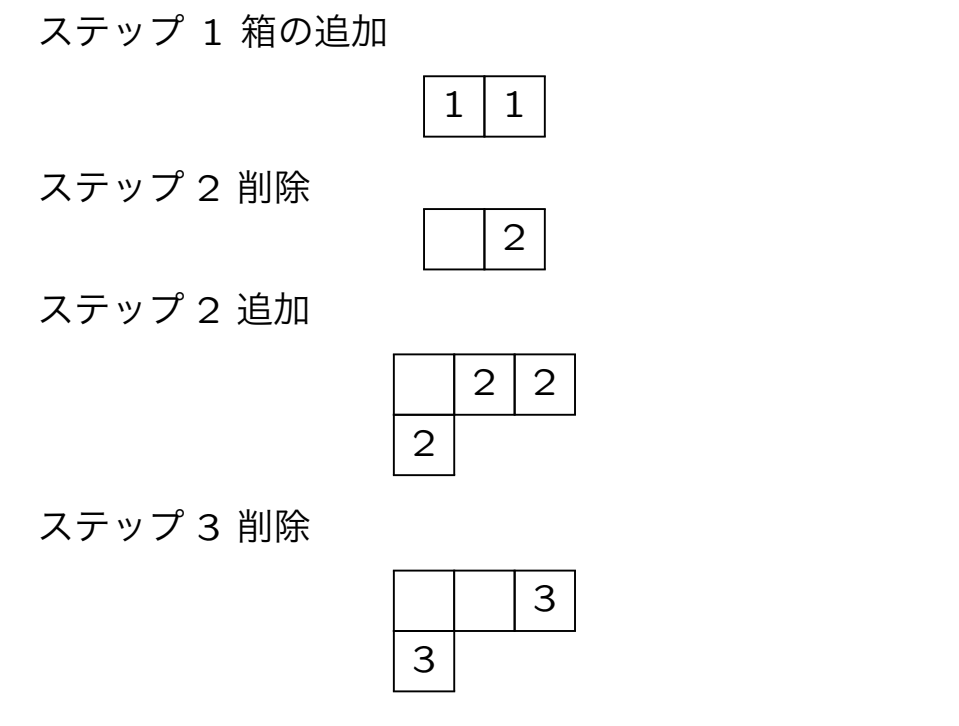
形が  $\lambda$  の k 半標準振動盤 (k-SSOT) とは分割の列  $S = (S^1, S'^2, S^2, S'^3, \dots, S'^k, S^k)$  で次を満たすもの。

- ullet  $S^i\supseteq S^{'i+1}$  かつ  $S^{'i}\subseteq S^i$ . さらに、これらの 差は水平帯。
  - $S^k = \lambda$ .

記号  $SSOT_k(\lambda)$  でこのような盤の集合を表す。

ステップ 1 箱の追加 ステップ 2 削除 ステップ 2 追加





したがって、

$$S = \begin{array}{|c|c|c|} \hline 1 & 122 & 23 \\ \hline 23 & & & \\ \hline \end{array}$$

OT は<mark>標準的</mark>(中の数字がすべて異なる)な SSOT であるといえる。

| 1 | 3  |
|---|----|
| 2 | 45 |

これで準備が整った!

$$w=\left(egin{array}{ccc} u_1 & \cdots & u_n \ v_1 & \cdots & v_n \end{array}
ight)$$
 からペア  $(P(w),Q(w))$ を構成:

まず  $(P_0,Q_0)=(\emptyset,\emptyset)$  とする。

$$P_j := P_{j-1} \longleftarrow v_j.$$

$$Q_j$$
 は SSOT で  $P_j \longleftarrow v_j$  の追加あるいは削除された箱の場所に  $u_j$  を記録。最後に $(P(w),Q(w))=(P_n,Q_n)$  とする。

$$w = \left(\begin{array}{cccc} \frac{1}{1} & \frac{1}{2} & \frac{2}{1} & 2 \end{array}\right)$$

$$\boxed{\overline{1}} \rightarrow \boxed{\overline{1}} \boxed{\overline{2}} \rightarrow \boxed{\overline{2}} \boxed{\overline{2}}$$

$$(P(w), Q(w)) =$$

$$\boxed{ \begin{array}{c|c} 2 \\ \hline \overline{2} \end{array} }, \boxed{ \begin{array}{c|c} 1 & 12 \\ \hline 2 \end{array} }$$

- 1 イントロダクション
- <sup>2</sup> King 盤
- ③ 主定理
- 4 展望

## タイプ C RSK 対応

## 主定理 1 [K-Matsumura]

$$\mathcal{A}^{\underline{k}}_{\overline{k}} \to \bigcup_{\lambda} \mathsf{KT}_{k}(\lambda) \times \mathsf{SSOT}_{k}(\lambda),$$

$$w \mapsto (P(w), Q(w))$$

は全単射。

証明のアイディア: Knuth array の<mark>標準化</mark>を用いると Belere の RS 対応が使えて証明ができる。 ■

# タイプ C RSK の応用?

- Cauchy 等式
- ssλ の対称性

ss<sub>λ</sub> のニュートン多面体の飽和性

 $x = (x_1, \ldots, x_k)$  とする。 ヤング盤 T の重みは、

$$x^{ au} = \prod\limits_{i,j} x_{\mathcal{T}(i,j)}.$$

Schur 多項式とは

$$s_{\lambda}(x) = \sum\limits_{T \in \mathsf{SSYT}_k(\lambda)} x^T.$$

# Cauchy 等式

$$egin{align} &\prod\limits_{i,j=1}^k (1-x_iy_j)^{-1}(1-x_i^{-1}y_j)^{-1} \ &=\sum\limits_{\ell(\lambda)\leq k} s_\lambda(x^\pm)s_\lambda(y) \ \end{gathered}$$

この展開はタイプ A RSK で導くことができる。 それならば、タイプ C でも同様のことができるの では?

## タイプ C の生成関数

### Symplectic Schur 関数

$$sp_{\lambda}(x^{\pm}) = \sum\limits_{T \in \mathsf{KT}_k(\lambda)} x^T$$

with 
$$x_{\overline{i}}=x_i^{-1}$$
.

### SSOT 関数 (新しいもの)

$$ss_{\lambda}(y) = \sum_{S \in SSOT_k(\lambda)} y^S.$$

# Cauchy 等式の双対性

### 主定理 2

$$egin{aligned} \sum\limits_{\lambda} s_{\lambda}(x^{\pm}) s_{\lambda}(y) \ &= \prod\limits_{i,j=1}^k (1-x_i y_j)^{-1} (1-x_i^{-1} y_j)^{-1} \ &= \sum\limits_{\lambda} \mathsf{sp}_{\lambda}(x^{\pm}) \mathsf{ss}_{\lambda}(y). \end{aligned}$$

### 証明.

最初の = は RSK A. 次の = は RSK C.

### 事実

- $s_{\lambda}(x)$  は対称。 (Bender-Knuth 1972)
- $sp_{\lambda}(x^{\pm})$  は  $B_{2k}$ -対称。 (Gutiérrez 2024)

### 主定理3

 $\operatorname{ss}_{\lambda}(y)$  も対称。

証明は、Sundaram の Burge array の議論を改良する。

 $\mathrm{SS}_{\lambda}$  の性質をさらに調べたい。 $f=\sum c_a x^a \in \mathbf{Z}[x_1,\ldots,x_k]$  を多項式、その台を

$$\operatorname{supp} f = \{a \in \mathbf{Z}_{\geq 0}^k \mid c_a \neq 0\}$$

とする。ƒ の**ニュートン多面体**は、

$$New(f) = conv(supp f) \subseteq \mathbf{R}^k$$
.

## 定義

f が SNP(Saturated Newton polytope)を満たす  $\iff$  New $(f) \cap \mathbf{Z}_{\geq 0}^k = \operatorname{supp} f$ .

Schur 多項式は SNP を満たすことがわかっている。

#### ssx についてはどうか?

…これは形式的ベキ級数なので、多項式ではない。ただし、斉次な部分をとりだせば多項式になっているので、そこに関して SNP の議論はきちんと意味をもつ。

n を  $n\geq |\lambda|,\ n-|\lambda|$  が偶数、を満たす整数、 ${\sf SS}_{\lambda,n}(x)={\sf SS}_{\lambda}(x)$  の次数が n の部分

### 定理(K.-松村-杉本)

 $SS_{\lambda,n}$  も SNP を持つ。

とする。

証明のアイディア:分割の支配順序と Schur 関数の和に関するある補題を用いる。

- 1 イントロダクション
- 2 King 盤
- 3 主定理
- 4 展望

## 展望

- SSOT の数え上げ。特に、Gessel の準対称関数との関係を調べる。
- sp(2k)-表現論的なタイプ C RSK の解釈 (Heo-Kwon 2022 が Howe 双対性で似たよう なことを証明)
- $sp_{\lambda}$  は SNP?

# ありがとうございました。

 Kobayashi-Matsumura, RSK correspondence for King tableaux with Berele insertion, arXiv 2506.06951.